

Equipe abnT<sub>E</sub>X2

**Modelo Canônico de  
Trabalho Acadêmico com abnT<sub>E</sub>X2**

Brasil

2014, v-1.9.2



Equipe abnT<sub>E</sub>X2

# **Modelo Canônico de Trabalho Acadêmico com abnT<sub>E</sub>X2**

Modelo canônico de trabalho monográfico  
acadêmico em conformidade com as normas  
ABNT apresentado à comunidade de usuários  
L<sup>A</sup>T<sub>E</sub>X.

Universidade do Brasil – UBr  
Faculdade de Arquitetura da Informação  
Programa de Pós-Graduação

Orientador: Lauro César Araujo  
Coorientador: Equipe abnT<sub>E</sub>X2

Brasil  
2014, v-1.9.2

#### Ficha de identificação da obra

A ficha de identificação é elaborada pelo próprio autor.

Orientações em:

<http://portalbu.ufsc.br/ficha>

Equipe abnT<sub>E</sub>X2

## **Modelo Canônico de Trabalho Acadêmico com abnT<sub>E</sub>X2**

Modelo canônico de trabalho monográfico  
acadêmico em conformidade com as normas  
ABNT apresentado à comunidade de usuários  
L<sup>A</sup>T<sub>E</sub>X.

Trabalho aprovado. Brasil, 24 de novembro de 2012:

---

**Lauro César Araujo**  
Orientador

---

**Professor**  
Convidado 1

---

**Professor**  
Convidado 2

Brasil  
2014, v-1.9.2



*Este trabalho é dedicado às crianças adultas que,  
quando pequenas, sonharam em se tornar cientistas.*





# Agradecimentos

Os agradecimentos principais são direcionados à Gerald Weber, Miguel Frasson, Leslie H. Watter, Bruno Parente Lima, Flávio de Vasconcellos Corrêa, Otavio Real Salvador, Renato Machnievscz<sup>1</sup> e todos aqueles que contribuíram para que a produção de trabalhos acadêmicos conforme as normas ABNT com L<sup>A</sup>T<sub>E</sub>X fosse possível.

Agradecimentos especiais são direcionados ao Centro de Pesquisa em Arquitetura da Informação<sup>2</sup> da Universidade de Brasília (CPAI), ao grupo de usuários *latex-br*<sup>3</sup> e aos novos voluntários do grupo *abnT<sub>E</sub>X2*<sup>4</sup> que contribuíram e que ainda contribuirão para a evolução do abnT<sub>E</sub>X2.

---

<sup>1</sup> Os nomes dos integrantes do primeiro projeto abnT<sub>E</sub>X foram extraídos de <<http://codigolivres.org.br/projects/abntex/>>

<sup>2</sup> <<http://www.cpai.unb.br/>>

<sup>3</sup> <<http://groups.google.com/group/latex-br>>

<sup>4</sup> <<http://groups.google.com/group/abntex2>> e <<http://abntex2.googlecode.com/>>



*“Não vos amoldeis às estruturas deste mundo,  
mas transformai-vos pela renovação da mente,  
a fim de distinguir qual é a vontade de Deus:  
o que é bom, o que Lhe é agradável, o que é perfeito.  
(Bíblia Sagrada, Romanos 12, 2)*



# Resumo

Um estudo das estruturas e técnicas comuns para otimização para renderização em janelas. Tendo em mente o constante crescimento de polígonos dos objetos a serem renderizados, há uma necessidade de que os objetos sejam acessados e "encontrados" de forma rápida e eficiente.

**Palavras-chave:** Estruturas de Dados. Árvores. Geometria Computacional.



# Abstract

A study of the most common techniques for optimizing rendering on windows. Beign aware of the constant growth of the polygon count and the size of graphical applications, and the necessity for easy and quick access to the objects.

**Keywords:** Data Structure. Tree. Computational Geometry.





# Lista de ilustrações

Figura 1 – Arvore <i>kdimensional</i> - 3D . . . . .	31
Figura 2 – Busca em alcance <i>dimensional</i> - 2D . . . . .	32
Figura 3 – Arvore 2D . . . . .	33
Figura 4 – Área respectiva de um nodo . . . . .	33



## Lista de tabelas



# Lista de abreviaturas e siglas

ABNT	Associação Brasileira de Normas Técnicas
abnTeX	ABsurdas Normas para TeX



# Lista de símbolos

$\Gamma$	Letra grega Gama
$\Lambda$	Lambda
$\zeta$	Letra grega minúscula zeta
$\in$	Pertence





# Sumário

<b>I</b>	<b>PREPARAÇÃO DA PESQUISA</b>	<b>25</b>
<b>1</b>	<b>INTRODUÇÃO</b>	<b>27</b>
<b>1.1</b>	<b>Objetivos</b>	<b>27</b>
<b>II</b>	<b>REFERENCIAIS TEÓRICOS</b>	<b>29</b>
<b>2</b>	<b>ESTRUTURAS DE BUSCA DE PONTOS</b>	<b>31</b>
<b>2.1</b>	<b>Arvores KD</b>	<b>31</b>
2.1.1	Construção da Árvore	31
2.1.2	Busca com alcance	33
<b>2.2</b>	<b>Árvore de Intervalos</b>	<b>35</b>
<b>2.3</b>	<b>Árvore de Segmentos</b>	<b>35</b>
<b>3</b>	<b>SEÇÃO</b>	<b>37</b>
<b>III</b>	<b>RESULTADOS</b>	<b>39</b>
<b>4</b>	<b>CONCLUSÃO</b>	<b>41</b>
	<b>Conclusão</b>	<b>43</b>
	<b>APÊNDICE A – DESCRIÇÃO 1</b>	<b>45</b>
	<b>ANEXO A – DESCRIÇÃO 2</b>	<b>47</b>



# Parte I

## Preparação da pesquisa



# 1 Introdução

A contagem de polígonos em artefatos gráficos em filmes, jogos, pesquisas médicas e científicas seguem em crescimento vertiginosa e apesar do Hardware acompanhar este crescimento, existem claras restrições com relação a V-RAM e a RAM. Com essas restrições em mente, são necessárias estruturas de dados que permitam o acesso rápido dessas figuras, consultas e armazenamento. A seleção e determinação de faces visíveis VSD.

## 1.1 Objetivos

O objetivo deste trabalho visa a busca rápida de estruturas geométricas. Visando aplicações gráficas em tempo real. Quando a câmera da aplicação precisa saber quais figuras geométricas precisam ser desenhadas tendo apenas a informação da posição da câmera e das coordenadas do mundo, este artigo visa o estudo de algoritmos para a solução deste tipo de problema.

[1]

## Parte II

### Referenciais teóricos





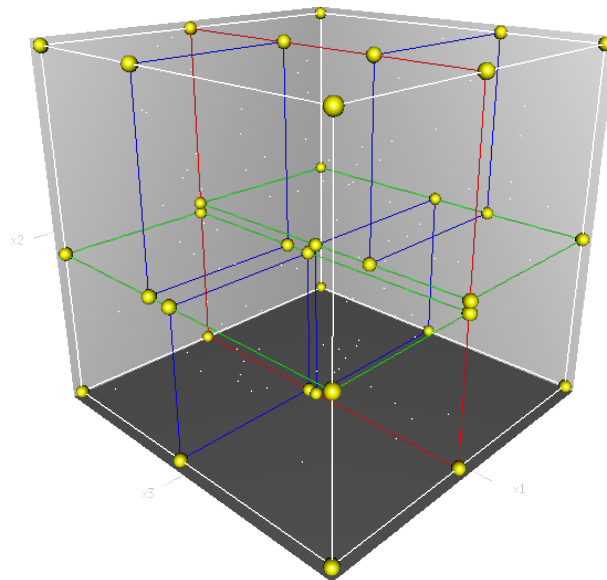
## 2 Estruturas de busca de pontos

Neste capítulo apresenta-se uma visão de como funcionam os algoritmos e estruturas de dados base para o desenvolvimento de algoritmos para renderização em janela acesso rápido para estruturas geométricas. São os algoritmos e estruturas de dados base para a construção de um controle de janela para acesso rápido de polígonos em janela.

### 2.1 Árvores KD

Uma Árvore KD é uma árvore binária onde cada folha é um ponto *k-dimensional*. E cada nó não-folha é um corte do espaço, representando implicitamente um hiperplano. Pontos à esquerda desse hiperplano estão na subárvore da esquerda, e respectivamente para o lado direito. Cada nó é associado com uma das *k dimensões*. Então, a citar um exemplo, se dado nó divide o eixo *x*, a subárvore à esquerda contém os pontos com o eixo *x* menor que o ponto de corte.

Figura 1 – Árvore *kdimensional* - 3D



Fonte: GPL

#### 2.1.1 Construção da Árvore

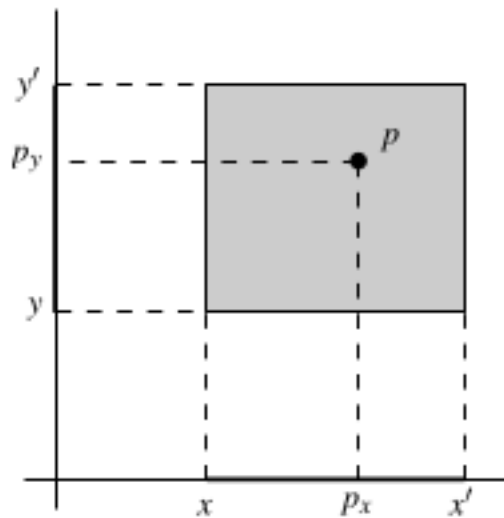
A termos didáticos segue a construção da árvore KD de 2 dimensões. Seja *P* o conjunto de *n* pontos em um plano.

Uma busca de alcance 2-dimensional em  $P$  é uma busca de quais pontos da busca estão entre o retângulo de busca  $[x, x'] \times [y, y']$ . Um ponto  $p := (p_x, p_y)$  está dentro do retângulo de busca se e somente se:

$$p_x \in [x, x'] \text{ e } p_y \in [y, y']$$

Podemos dizer que uma busca 2-dimensional é composta de duas sub-buscas 1-dimensional, uma no eixo  $x$ -coordenada de um dos pontos e um na  $y$ -coordenada.

Figura 2 – Busca em alcance *dimensional* - 2D

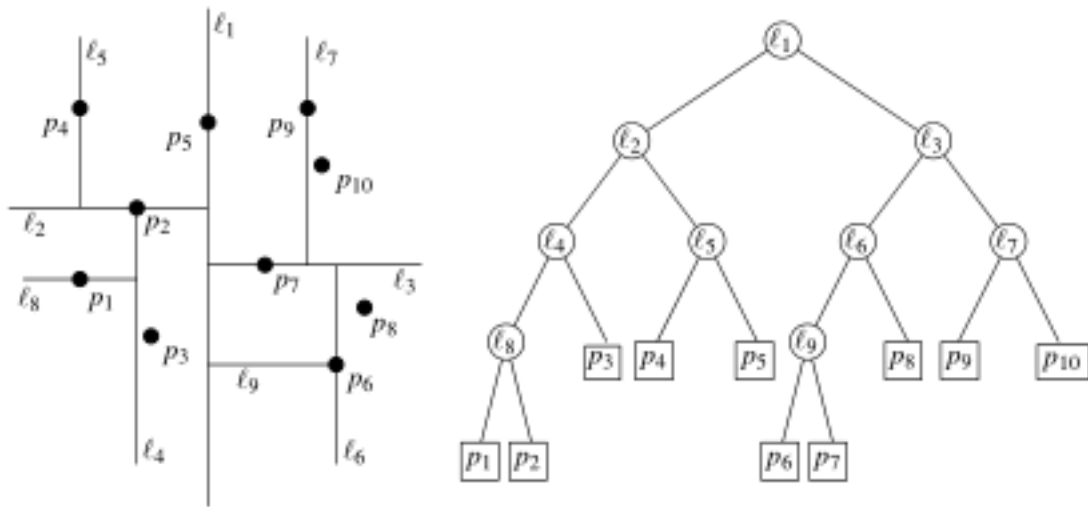


Fonte: Computational Geometry

Na construção de uma árvore para 2 dimensões, cada ponto tem uma  $x$ -coordenada e uma  $y$ -coordenada. Seguimos então escolhendo um eixo inicial e salvando o valor de corte deste eixo que divide os pontos deste eixo em dois conjuntos, e no próximo nível da árvore, alterna-se o eixo e repete-se o processo recursivamente.

Na raiz ordena-se todos os pontos e divide o conjunto de pontos  $P$  com uma linha vertical  $l$  que divide os pontos pelo eixo  $x$ . Guarda-se o valor de  $x_v$  no nodo e alterna-se o eixo. Agora, recursivamente repete o processo para os dois subconjuntos de pontos: Ordena-se os pontos pelo eixo  $y$  e divide o conjunto e encontra-se a reta horizontal que subdivide os pontos e guarda no nodo do valor de corte  $y$ . A condição de parada é até quando o conjunto de pontos restantes contiver apenas um ponto. Este sendo então o nodo folha.

Figura 3 – Arvore 2D

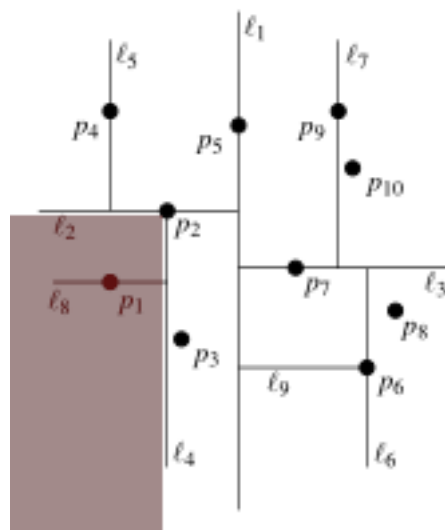


### 2.1.2 Busca com alcance

Agora retomamos para o algoritmo de busca. Podemos imaginar que os pontos na subárvore à esquerda da raiz, estão limitados à direita pela reta com o eixo  $x$  com valor de  $x \leq l_1$ . Enquanto os pontos na subárvore à direita do nó  $l_1$  estão limitados com o eixo  $x > l_1$ .

A exemplo: o nó  $l_4$ , a região correspondente de  $l_4$  é limitada à esquerda de  $l_1$  e abaixo de  $y$  do nó  $l_2$ .

Figura 4 – Área respectiva de um nodo



Denotaremos esta área de um nó  $v$  como  $regiao(v)$ . A região da raiz é sim-

**Algorithm 1** The Bellman-Kalaba algorithm

---

```

1: procedure BELLMANKALABA( $G, u, l, p$ )
2:   for all  $v \in V(G)$  do
3:      $l(v) \leftarrow \infty$ 
4:   end for
5:    $l(u) \leftarrow 0$ 
6:   repeat
7:     for  $i \leftarrow 1, n$  do
8:        $min \leftarrow l(v_i)$ 
9:       for  $j \leftarrow 1, n$  do
10:        if  $min > e(v_i, v_j) + l(v_j)$  then
11:           $min \leftarrow e(v_i, v_j) + l(v_j)$ 
12:           $p(i) \leftarrow v_j$ 
13:        end if
14:      end for
15:       $l'(i) \leftarrow min$ 
16:    end for
17:     $changed \leftarrow l \neq l'$ 
18:     $l \leftarrow l'$ 
19:  until  $\neg changed$ 
20: end procedure

21: procedure FINDPATHBK( $v, u, p$ )
22:   if  $v = u$  then
23:     Write  $v$ 
24:   else
25:      $w \leftarrow v$ 
26:     while  $w \neq u$  do
27:       Write  $w$ 
28:        $w \leftarrow p(w)$ 
29:     end while
30:   end if
31: end procedure

```

---

plesmente (no caso de uma árvore 2D) o plano inteiro. Portanto o algoritmo buscará a subárvore de  $v$  somente se o retângulo de busca intersectar a *região*( $v$ ). O algoritmo de busca funciona descendo a árvore mas visitando somente os nós que a *região*( $v$ ) intersecta o retângulo da busca. Quando uma *região*( $v$ ) está contido no retângulo de busca retornamos todos os pontos na subárvore. Quando chegarmos nos nós folhas temos de checar se o nó está dentro da busca, se tiver, retorna-o.

Segue o algoritmo que recebe como parâmetros a raiz da árvore-KD e o retângulo de busca  $R$ . Usa-se uma chamada *RetornaSubarvore*( $v$ ) que atravessa a árvore de nó  $v$  e retorna todos os pontos nas suas folhas. Segue como notação  $fe(v)$  sendo o filho da esquerda e  $fd(v)$  o filho da direita do nó  $v$ .

A principal comparação realizada é checar se a área de *Busca* intersecta a região de

um nodo  $v$ . Para isso precisamos computar  $regiao(v)$  para todos os nodos  $v$  durante a fase de construção da árvore. Uma alternativa é manter a região salva nas chamadas recursivas usando as linhas guardadas nos nodos internos. Por exemplo a região correspondente ao filho esquerda de um nodo  $v$  em uma profundidade par (no exemplo 2D, analisamos no eixo  $x$ ) pode ser calculado com:

$$regiao(fe(v)) = regiao(v) \cap l(v)^{esquerda}$$

, onde  $l(v)$  é a linha que divide o eixo salvo em  $v$ , e  $l(v)^{esquerda}$  é a metade esquerda do plano.

## 2.2 Arvore de Intervalos

## 2.3 Arvore de Segmentos



## 3 Seção

Este *template* contém algumas seções criadas na tentativa de facilitar seu uso. No entanto, não há um limite máximo ou mínimo de seção a ser utilizado no trabalho. Cabe a cada autor definir a quantidade que melhor atenda à sua necessidade.

[2-3]



## Parte III

### Resultados



## 4 Conclusão

As conclusões devem responder às questões da pesquisa, em relação aos objetivos e às hipóteses. Devem ser breves, podendo apresentar recomendações e sugestões para trabalhos futuros.



# Conclusão

[31-33]

[title=REFERÊNCIAS]



# APÊNDICE A – Descrição 1

Textos elaborados pelo autor, a fim de completar a sua argumentação. Deve ser precedido da palavra APÊNDICE, identificada por letras maiúsculas consecutivas, travessão e pelo respectivo título. Utilizam-se letras maiúsculas dobradas quando esgotadas as letras do alfabeto.





## ANEXO A – Descrição 2

São documentos não elaborados pelo autor que servem como fundamentação (mapas, leis, estatutos). Deve ser precedido da palavra ANEXO, identificada por letras maiúsculas consecutivas, travessão e pelo respectivo título. Utilizam-se letras maiúsculas dobradas quando esgotadas as letras do alfabeto.